

NANOHYDLI

Nano hydrures pour batteries à ions lithium.

Luc Aymard, UPJV-LRCS

luc.aymard@u-picardie.fr

Coordinateur :

1- UPJV-LRCS, Laboratoire de Réactivité et de Chimie des Solides, Amiens

Organismes de recherche :

2- CNRS-ICMPE, Institut de Chimie et des Matériaux de Paris Est, Thiais

3- CNRS-ICMCB, Institut de Chimie de la Matière Condensée de Bordeaux

Entreprises: Néant

Projet académique, Thèse de Warda Zaïdi (soutenance prévue en Nov. 2012)

Budget (M€)	Aide (M€)	Nombre de personnes.ans
1.481	0.702	11.5

Date de démarrage : **01/11/2009**

Date de fin : **31/10/12**

Objectifs du projet NanoHydLi



Appliqué:

Mise au point d'électrodes négatives pour batteries
Li-ion avec des Nano hydrures

Fondamental:

Etablir un socle de connaissance sur la réactivité des
hydrures MH_x avec le lithium

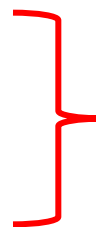
Etude des mécanismes de conversion des hydrures vs Li

Réaction de conversion



Défis scientifiques et techniques :

- Variation volumiques des électrodes (80%)
- Problème de plusieurs interfaces
- Amélioration de conductivité de l'électrode



Passage à l'état nanométrique

Résultats majeurs escomptés :

- Alternative au graphite dans les batteries à ion lithium
- Electrode négative capacité > 500 mAh/g
- Potentiel moyen ≤ 0.5 Volt vs Li+/Li
- Durée de vie ≥ 100 cycles.

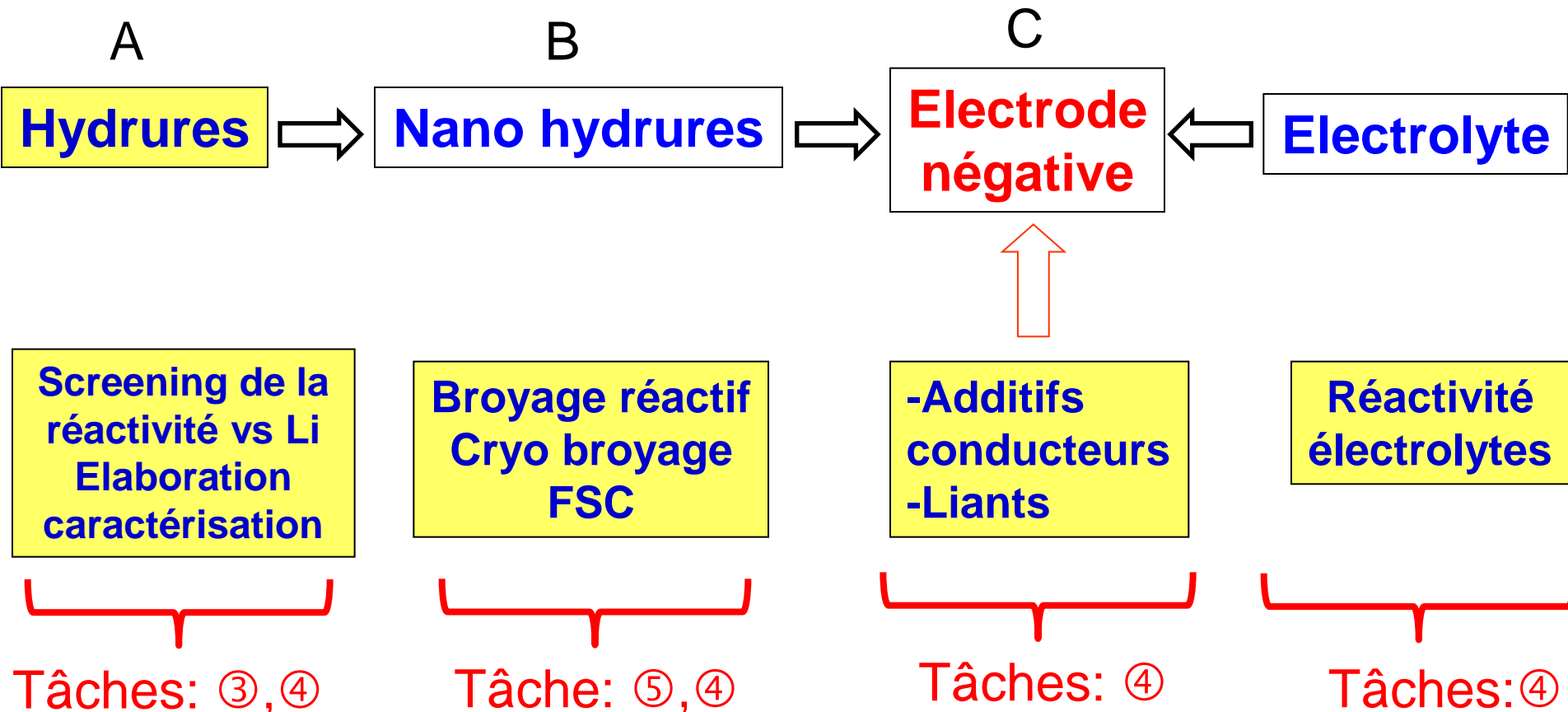
Programme de travail et jalons

			2	4	6	8	10	12	14	16	18	20	22	24	26	28	30	32	34	36	
1	LRCS			Coordination																	
2	LRCS	ICMPE	ICMCB	Veille bibliographique																	
3		ICMPE	ICMCB	Élaboration des hydrures																	
4	LRCS		ICMCB			Réactivité des hydrures vis-à-vis du Li				Optimisation de la technologie de l'électrode											
5	LRCS	ICMPE	ICMCB				Hydrures nanométriques				Ajout d'activateurs										
Livrables et jalons						L1 -1				L1 -2	L3 -1			L1 -4			L1		L1 L5		L1 L4
Réunions de travail						✉	✉		✉	✉			✉	✉			✉		✉		✉

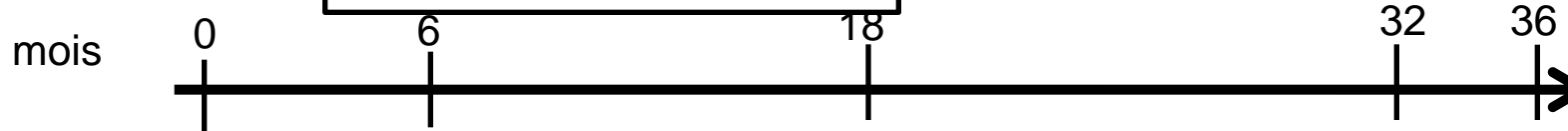
% de réalisation des tâches



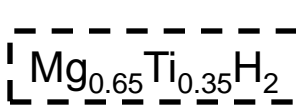
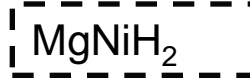
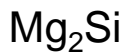
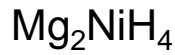
Mise au point d'électrodes négatives pour batteries Li-ion avec des nano hydrures



Tâches 3 et 4.1



3		ICMPE	ICMCB	Élaboration des hydrures sélectionnés	
4	LRCS		ICMCB	Réactivité des hydrures vis-à-vis du Li	



Hydrures complexes

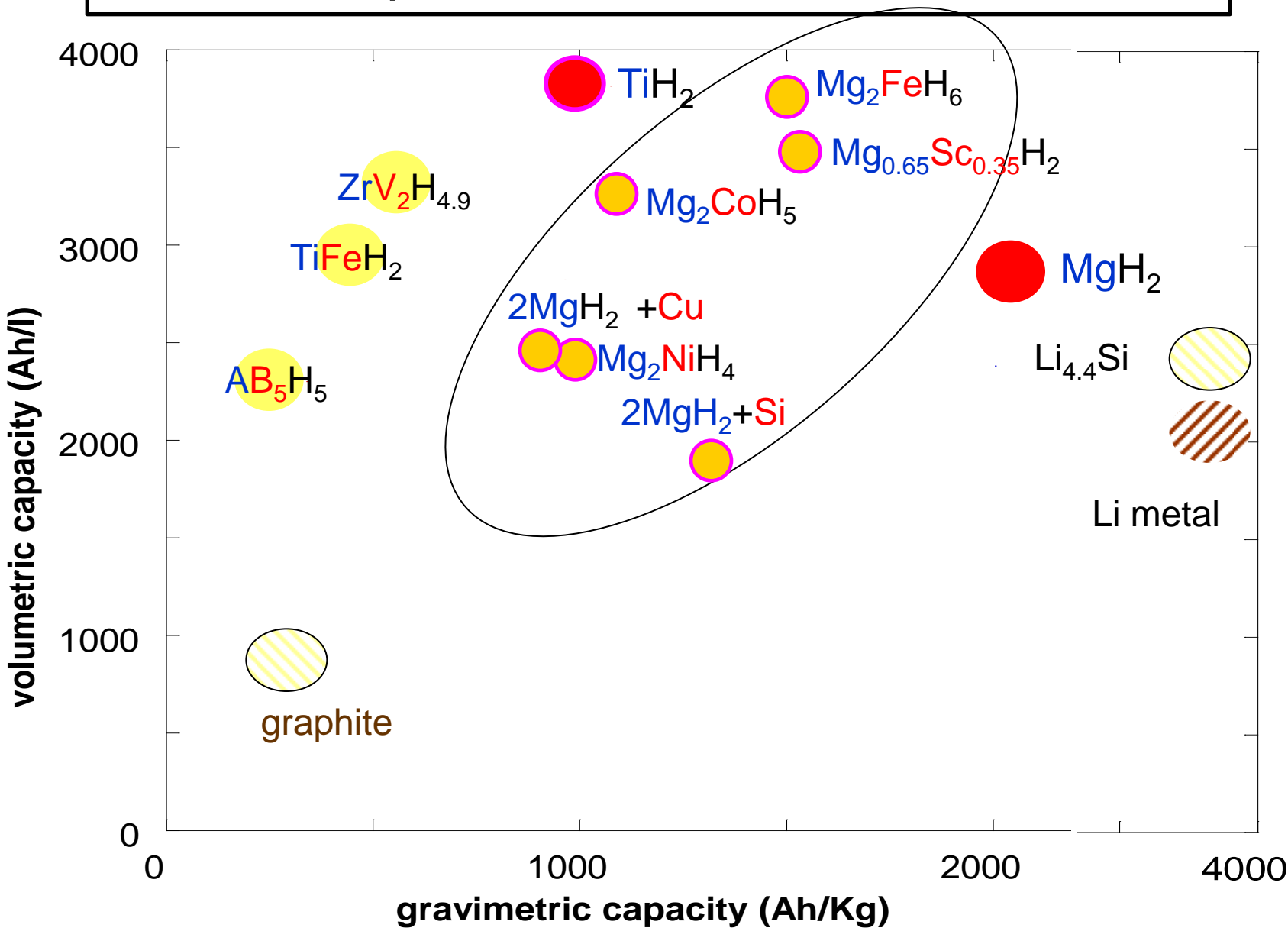
Inter métallique Mg-Cu

Hydrure Mg-Sc

Perspectives

Synthétisés et caractérisés

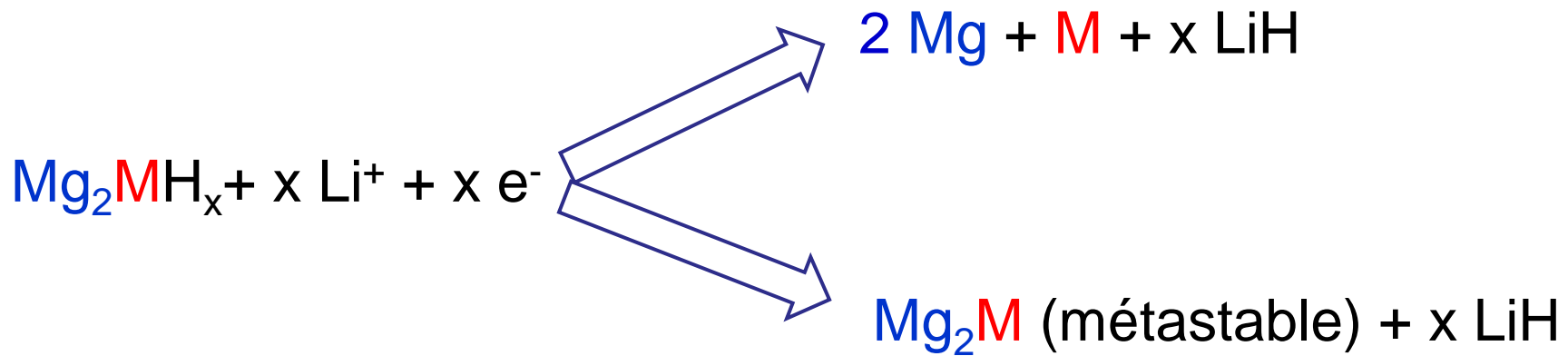
Hydrures à base de Mg comme électrode pour les accumulateurs Li-ion ?



Hydrures complexes Mg_2FeH_6 , Mg_2CoH_5 pour la réaction de conversion

Intérêt fondamental et appliqué :

Deux mécanismes de conversion possibles:



- Influence du mécanisme de conversion sur la cyclabilité des matériaux
- Rôle d'une matrice métallique (Fe, Co) sur la variation de volume de l'électrode et la conductivité
- Etude de la réversibilité du système $\text{Mg}_2\text{MH}_x / \text{Mg}_2\text{M-métastable}$)

Synthèse de Mg_2FeH_6 et Mg_2CoH_5 par broyage réactif sous H_2

Métallurgie des poudres: $T > 450^\circ C$, $P H_2 = 150$ bars, 1 semaine !

K. Yvon, Int. J. Hydrogen Energy. Vol. 16. No 9, pp.615-617.1991

Broyage réactif:

TA, $P H_2 = 90$ bars, 4-12 heures



Précuseurs

(2.0 Mg + M)

(2.0 MgH₂ + M)

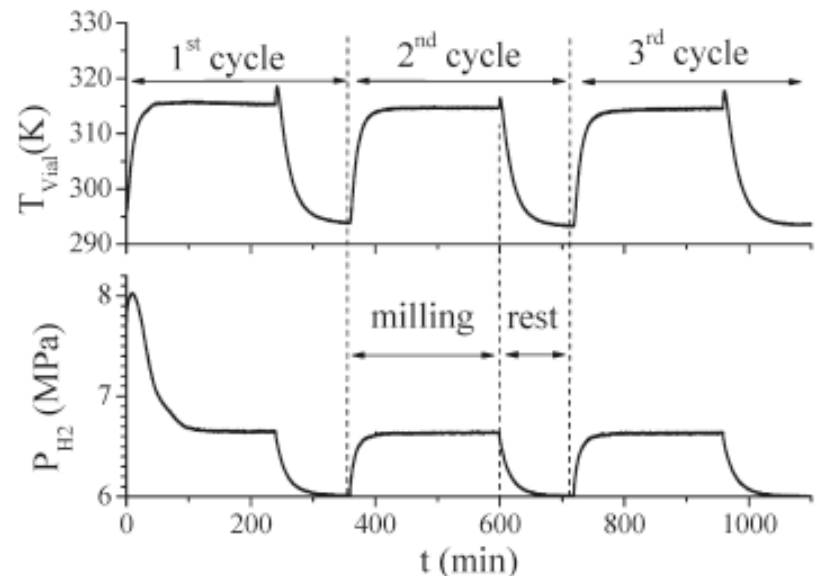
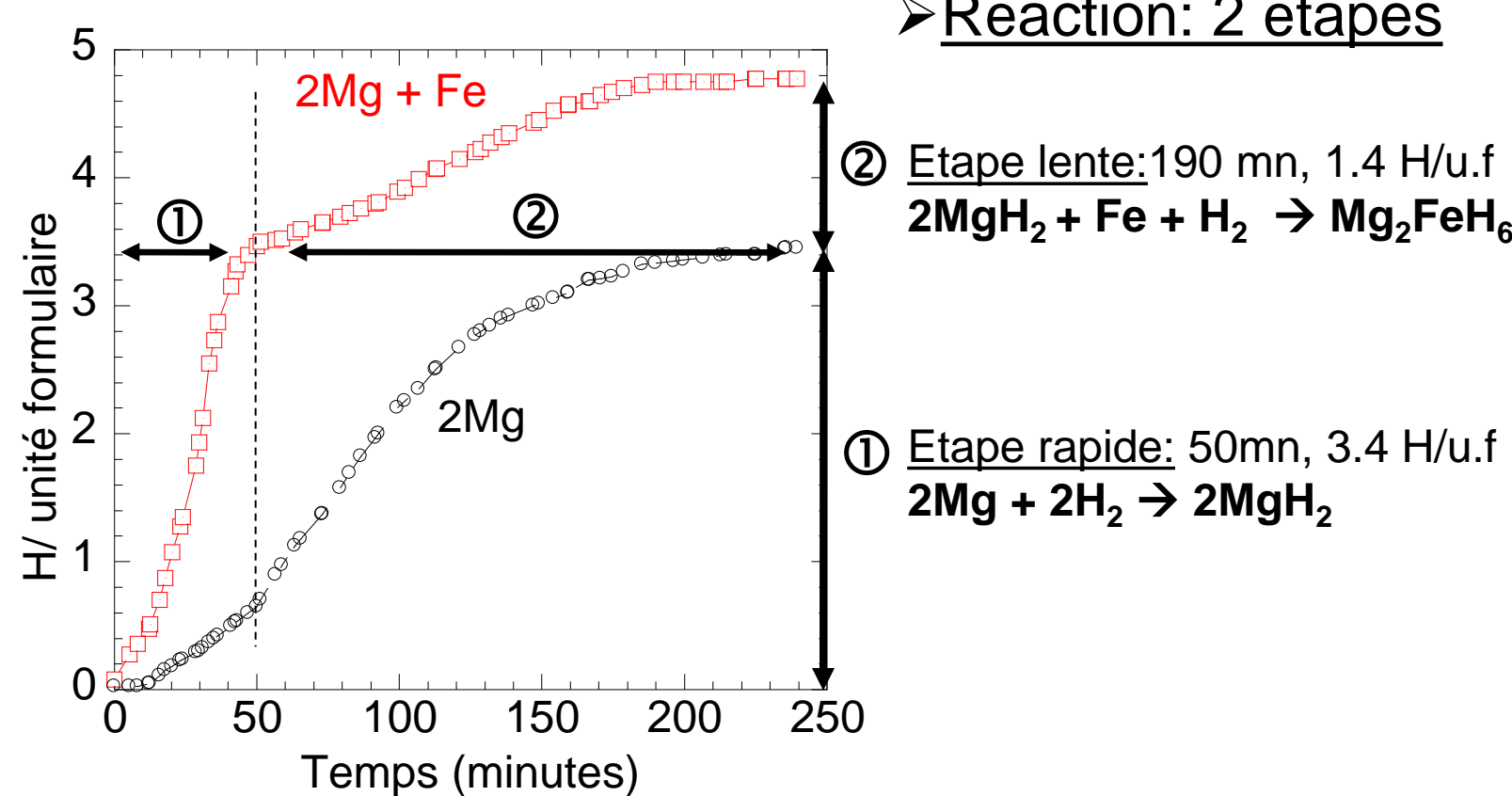


Figure 1. Time evolution of hydrogen pressure and vial temperature during milling of 2Mg + Co metallic powder.

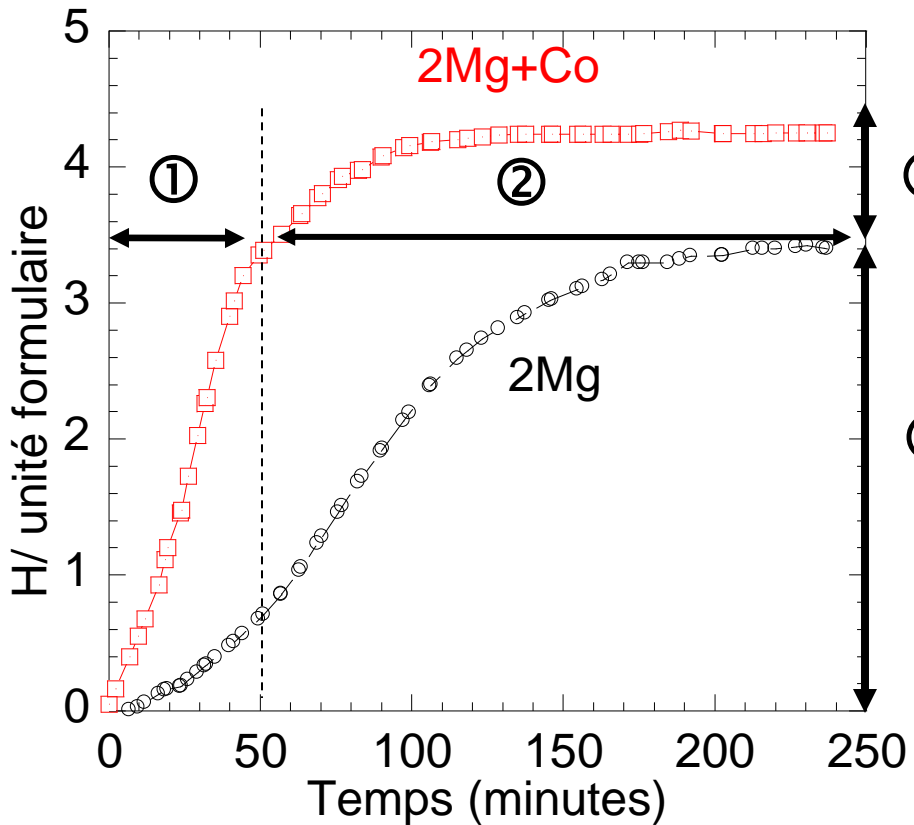
Synthèse de Mg_2FeH_6 à partir de (2 Mg + Fe)



➤ Bilan: $(2\text{Mg} + \text{Fe}) + 3\text{H}_2 \rightarrow 2\text{MgH}_2 + \text{Fe} + \text{H}_2 \rightarrow \text{Mg}_2\text{FeH}_6$

Remq: précurseur $(2\text{MgH}_2 + \text{Fe}) + \text{H}_2 \rightarrow \text{Mg}_2\text{FeH}_6$

Synthèse de Mg_2CoH_5 à partir de (2 Mg + Co)



➤ Réaction: 2 étapes

② Etape lente: 190 mn, 0.8 H/u.f
 $2\text{MgH}_2 + \text{Co} + \frac{1}{2}\text{H}_2 \rightarrow \text{Mg}_2\text{CoH}_5$

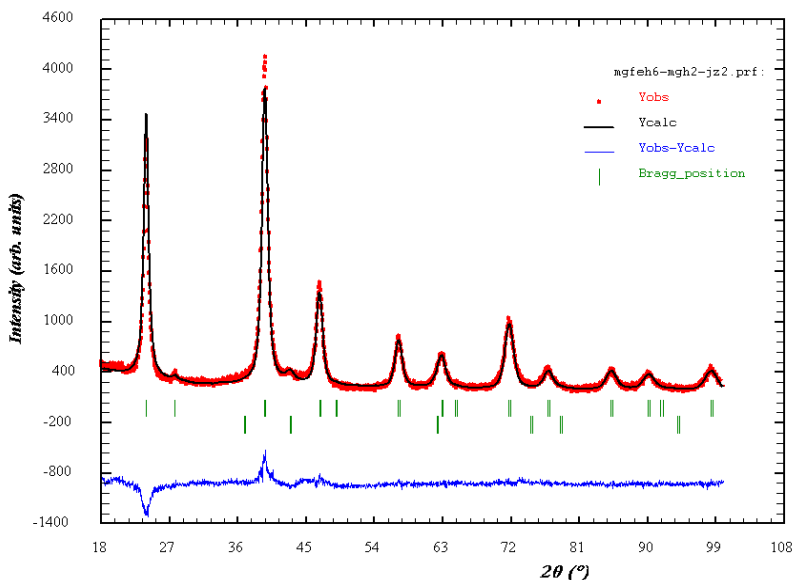
① Etape rapide: 50mn, 3.4 H/u.f
 $2\text{Mg} + 2\text{H}_2 \rightarrow 2\text{MgH}_2$

➤ Bilan: $2\text{Mg} + \text{Co} + \frac{5}{2}\text{H}_2 \rightarrow 2\text{MgH}_2 + \text{Co} + \frac{1}{2}\text{H}_2 \rightarrow \text{Mg}_2\text{CoH}_5$

Caractérisation par diffraction des rayons X de Mg_2FeH_6 et Mg_2CoH_5

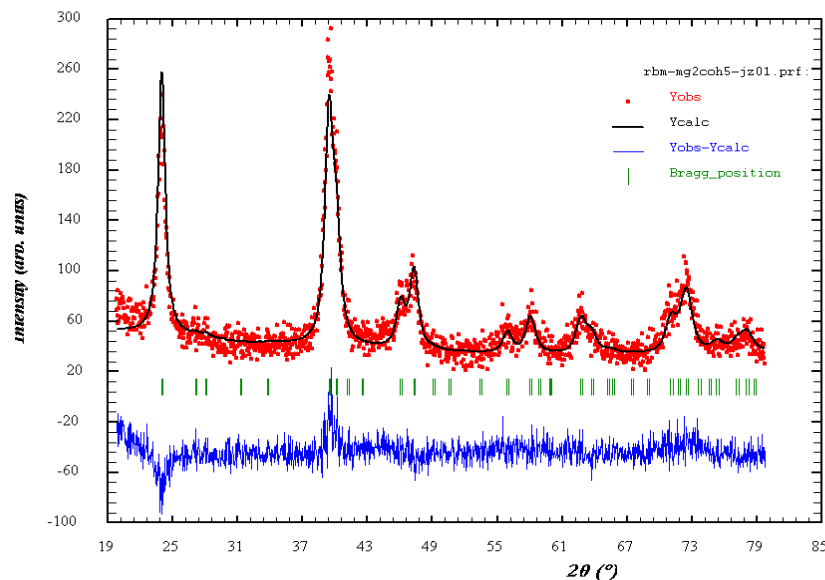
➤ Mg_2FeH_6 :

2.0 MgH₂ + Fe / broyé 6h sous 80 bar H₂



➤ Mg_2CoH_5 :

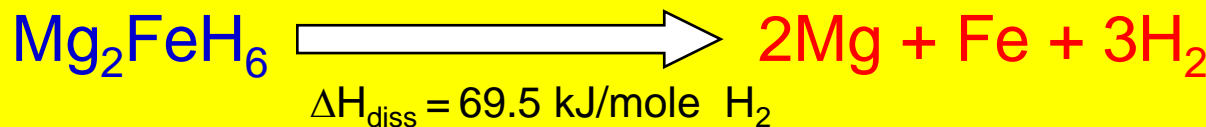
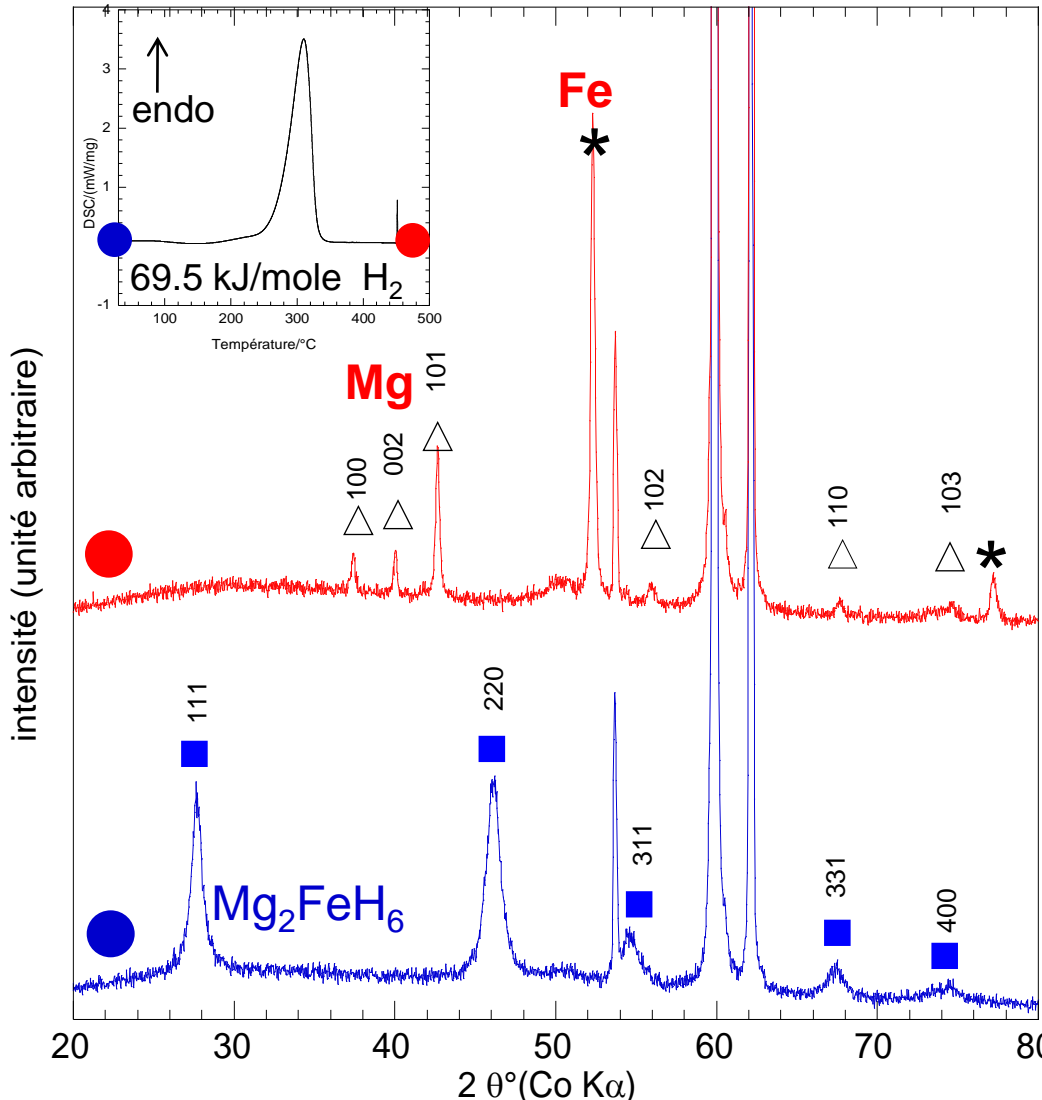
2 Mg + Co + H₂/ broyé 4h sous 80 bar H₂



Mg_2FeH_6 (90 wt%) $Fm\text{-}3m$: $a = 6.4420 \text{ \AA}$
 MgO (10 wt%) $Fm\text{-}3m$: $a = 4.2175 \text{ \AA}$

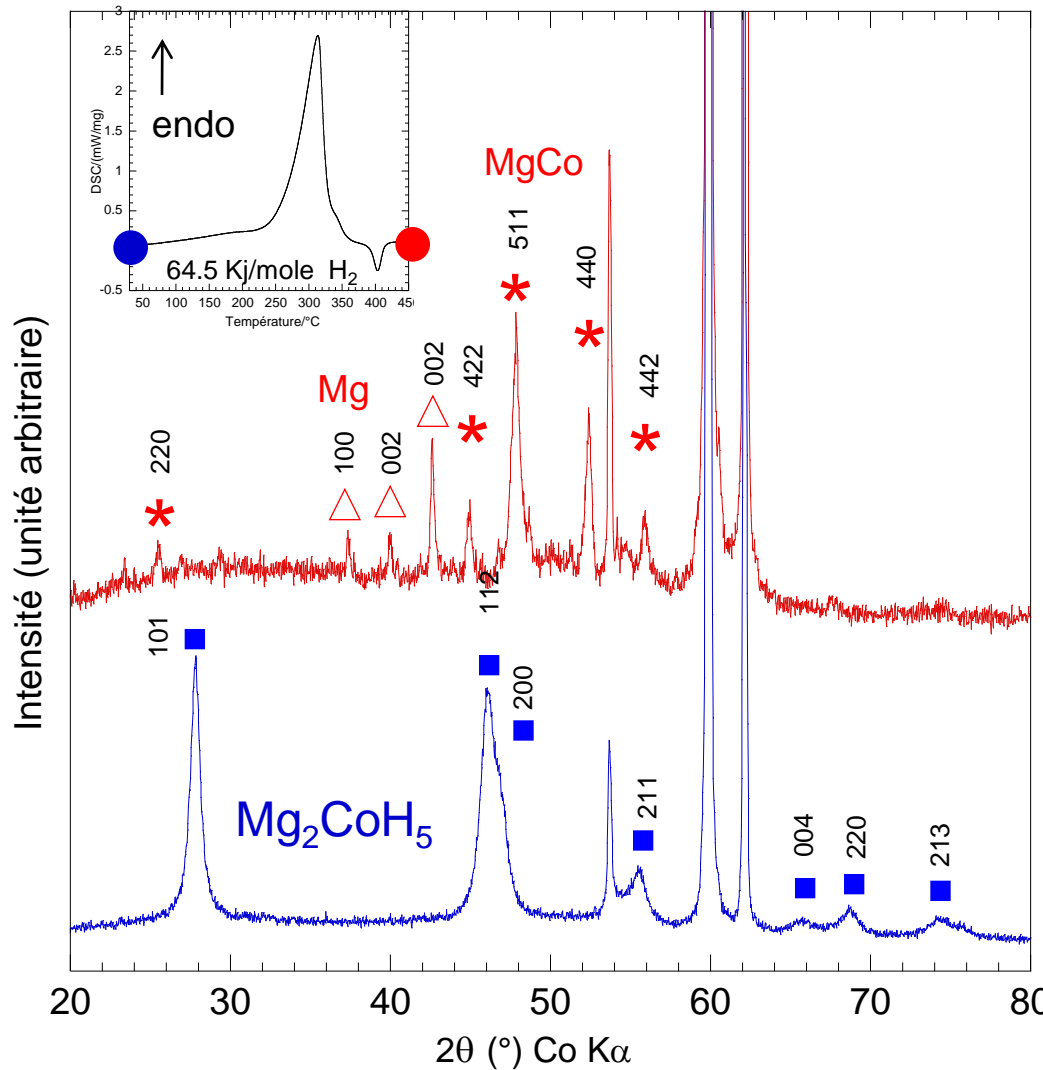
Mg_2CoH_5 (100 wt%), $P4/nmm$: $a = 4.4917 \text{ \AA}$
 $c = 6.5735 \text{ \AA}$

Analyse thermique en calorimétrie différentielle à balayage de Mg_2FeH_6



Littérature: $\Delta H_{\text{diss}} = 77.4 \text{ kJ/mole H}_2$, Bogdanovic et al., J. of Alloys and Compounds, 345, (2002), 77-89

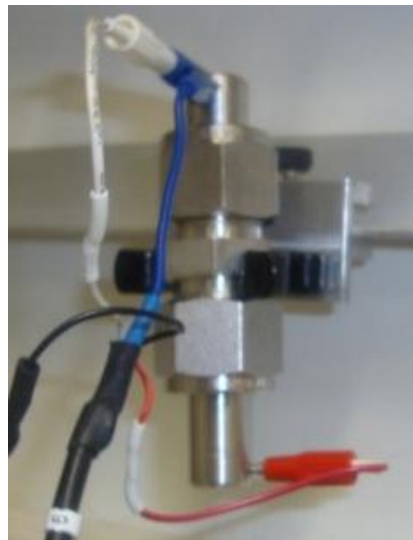
Analyse en calorimétrie différentielle à balayage de Mg_2CoH_5



Caractérisation électrochimique de Mg_2FeH_6 et Mg_2CoH_5 vs Li

➤ Etude en cellule Swagelok

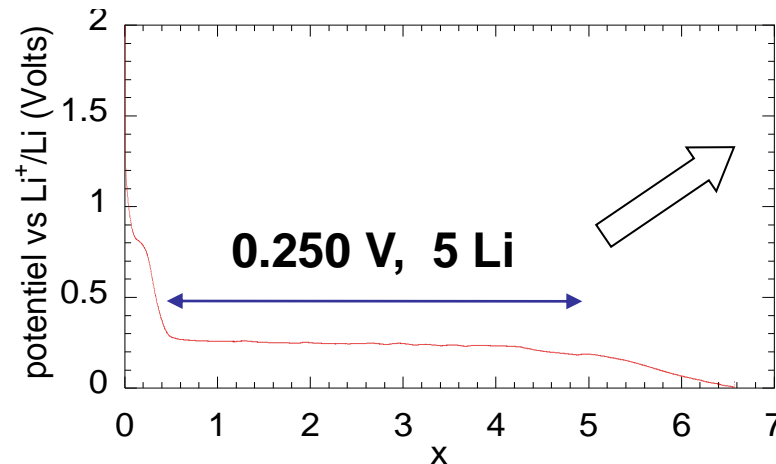
- Li



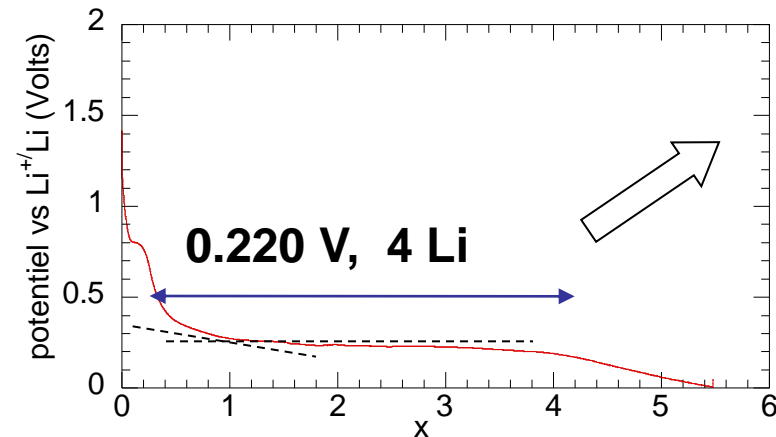
+ Mg_2MH_x

➤ Electrolyte: LP-30
EC-DMC / 1M LiPF_6

1 Lithium en 10 heures

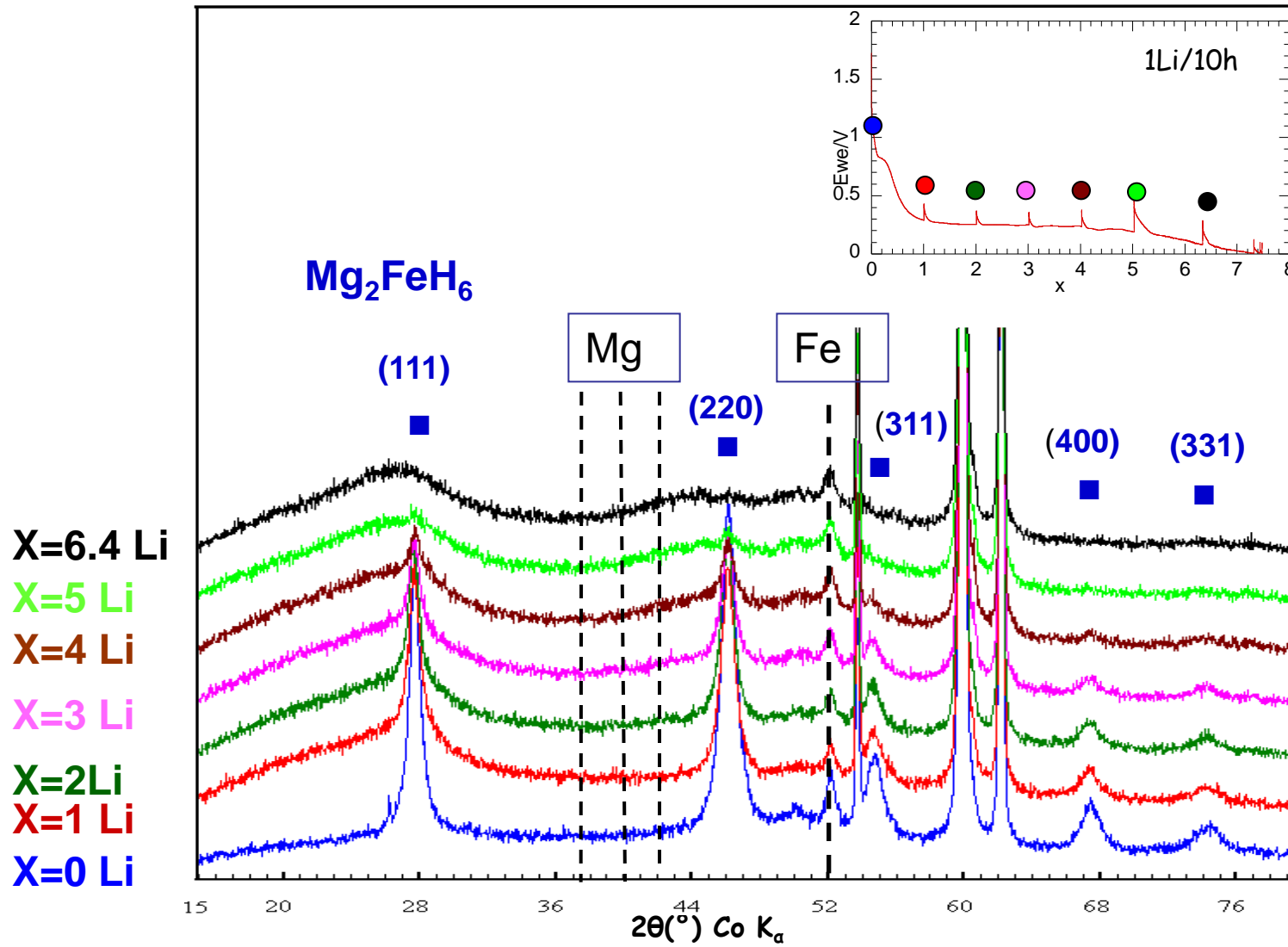


5 Li ≈ Capacité théorique 6 H



4 Li ≈ Capacité théorique 5 H

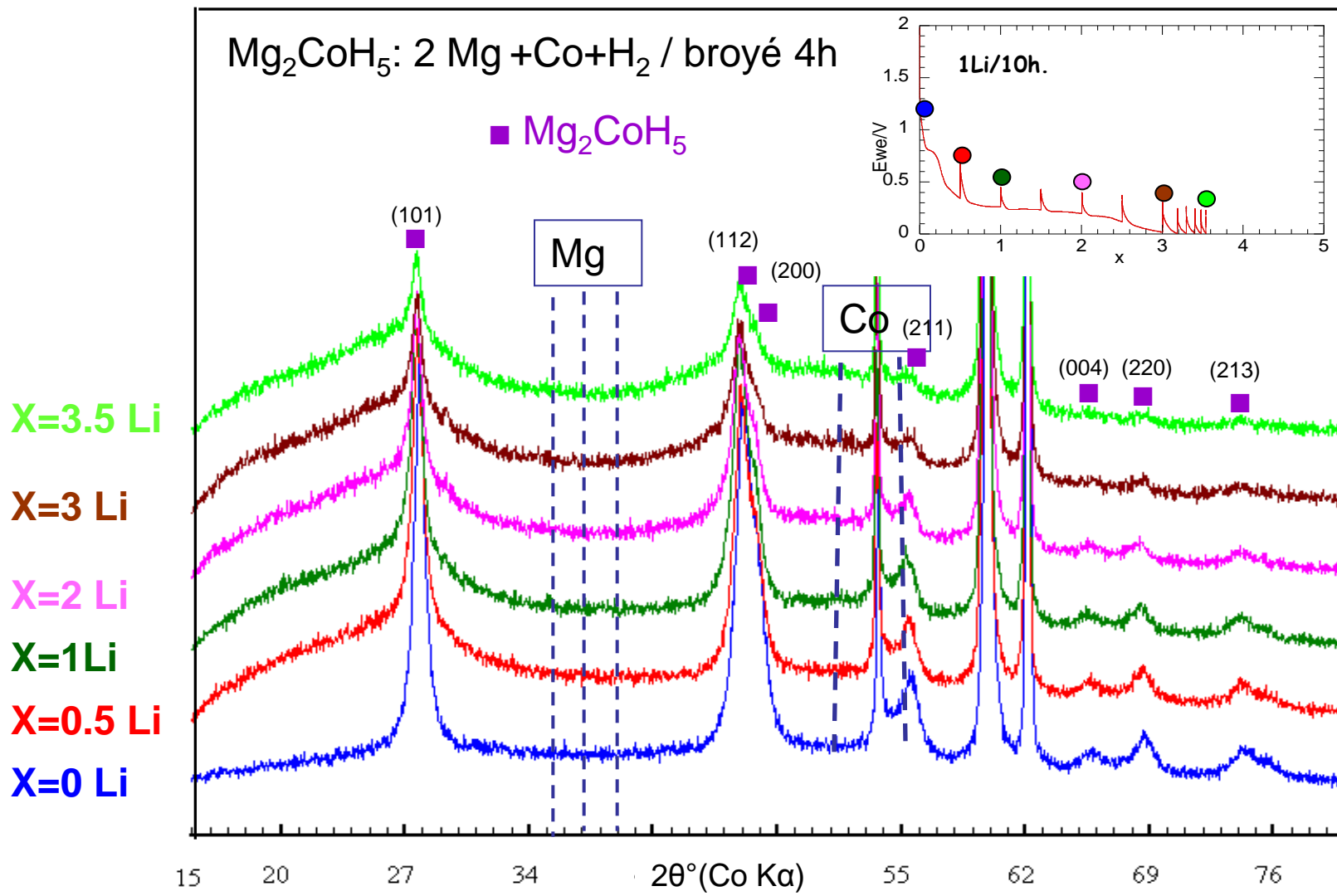
Caractérisation par DRX, GITT/ in situ de Mg_2FeH_6



Baisse d'intensité des raies de diffraction de Mg_2FeH_6

Formation d'une phase amorphe \longrightarrow (Mg_2Fe) ? ou $(2\text{ Mg} + \text{Fe})$?

Caractérisation par DRX, GITT/ In situ de Mg_2CoH_5



Baisse d'intensité des raies de diffraction de Mg_2CoH_5

Formation d'une phase amorphe → (Mg_2Co) ? ou $(2 \text{ Mg} + \text{Co})$?

Nature du matériaux obtenu en fin de décharge ?

➤ Mécanisme de conversion:



- 6 -10 octobre, Soleil, Synchrotron, ligne Samba
- Galvanostatique in situ en EXAFS et en XANES seuil K du Fe (7.11eV) et du Co (7.71 eV)

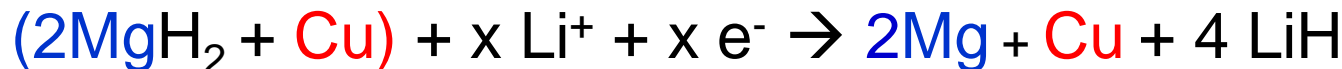
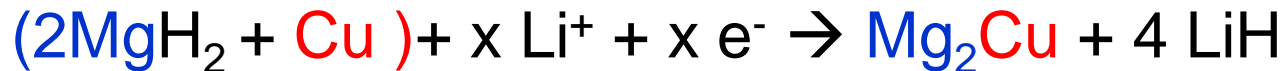
Spectroscopie Mössbauer (Mg_2FeH_6), DSC, TEM ,

Système Mg-Cu

Spécificité: l'hydrure Mg_2CuH_4 n'existe pas

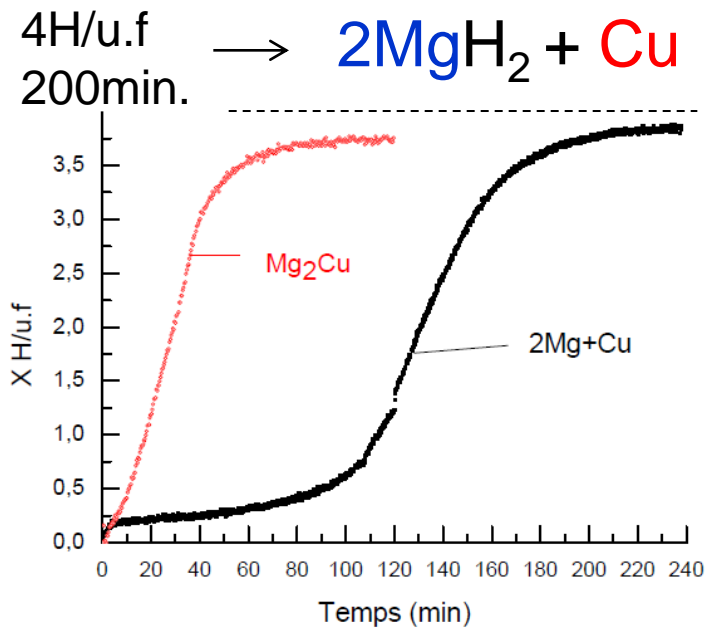


2 mécanismes de conversion



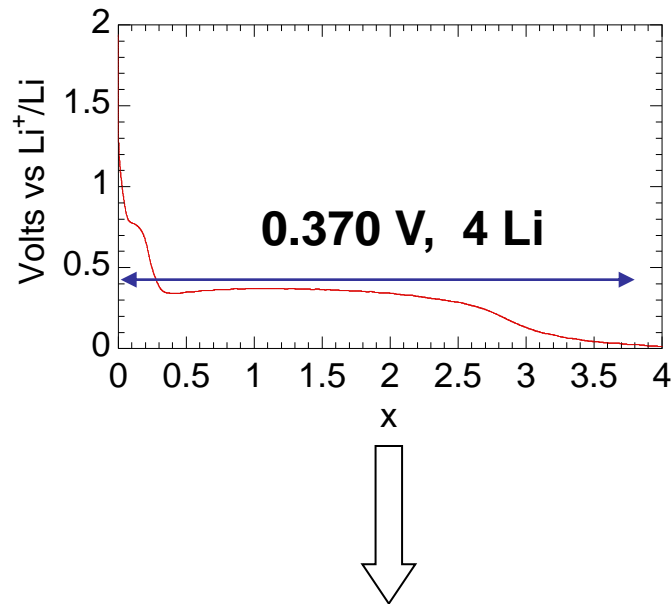
- Influence du mécanisme de conversion sur la cyclabilité des matériaux
- Rôle du Cu sur la variation de volume de l'électrode et la conductivité
- Etude de la réversibilité du système Mg_2Cu / Mg_2MH_x -métastable)

Cinétiques de formation



La formation du mélange $\text{2MgH}_2 + \text{Cu}$ est plus rapide à partir de Mg_2Cu que de $\text{2Mg} + \text{Cu}$

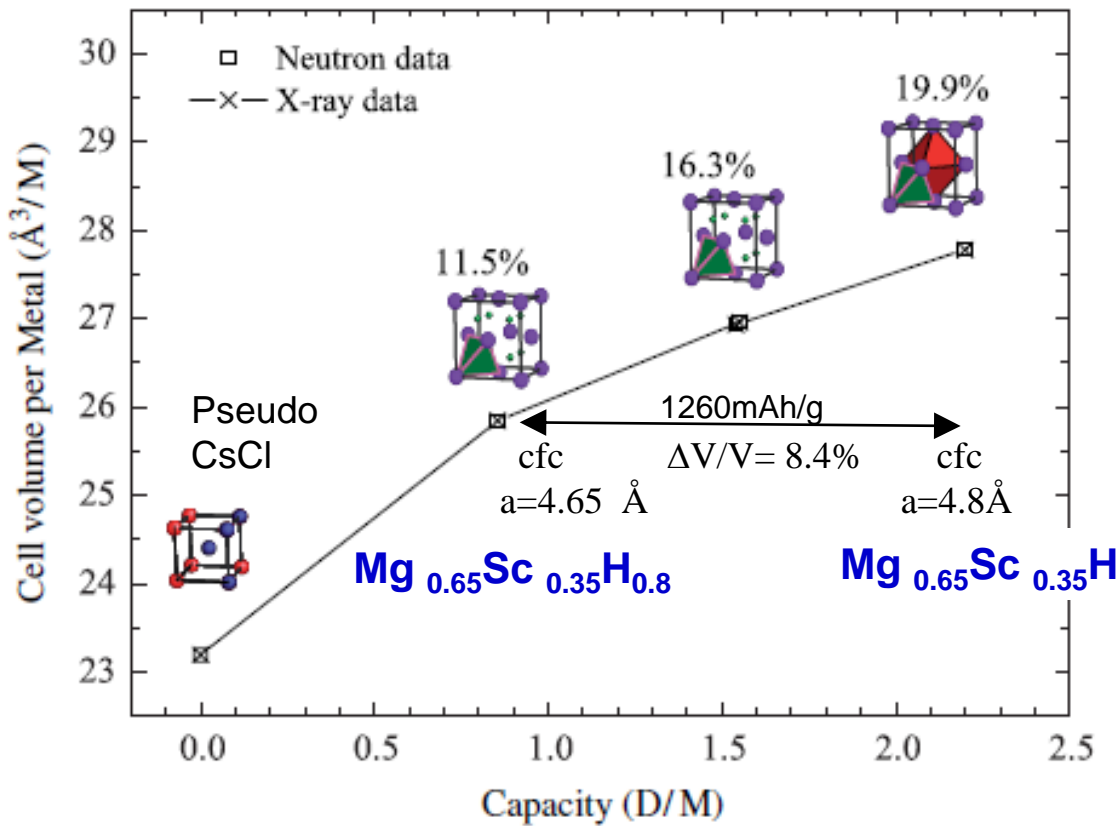
Propriétés électrochimiques



Hydrures dans le système Mg-Sc :

$Mg_{0.65}Sc_{0.35}H_2$ 6.6% $\approx 1900\text{mAh/g}$

Structure: Fluorite (fcf)

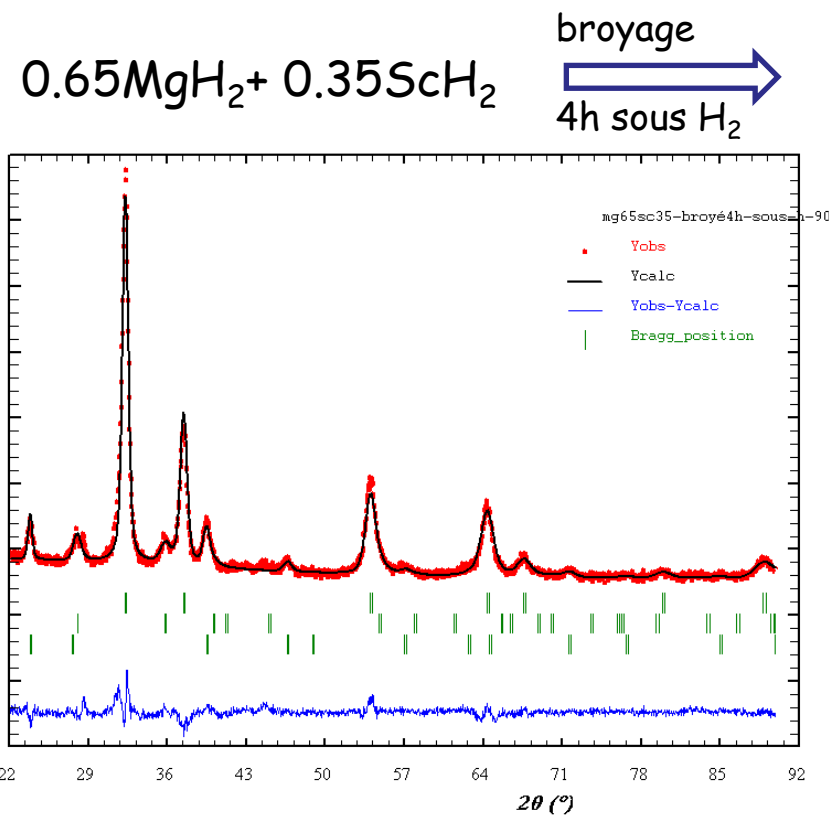


- avantage : structure identique entre $Mg_{0.65}Sc_{0.35}H_{0.8}$ et $Mg_{0.65}Sc_{0.35}H_{2.25}$
- inconvénient: activation difficile (dépôt de 2 à 5% de Pd)

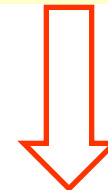
1 - **$Mg_{0.65}Sc_{0.35}H_{2.25}$ par broyage réactif de MgH_2 et ScH_2**

2- Dépôt de Pd par fluide super critique sur un alliage $Mg_{0.65}Sc_{0.35}$ préparé par fusion

$Mg_{0.65}Sc_{0.35}H_2$



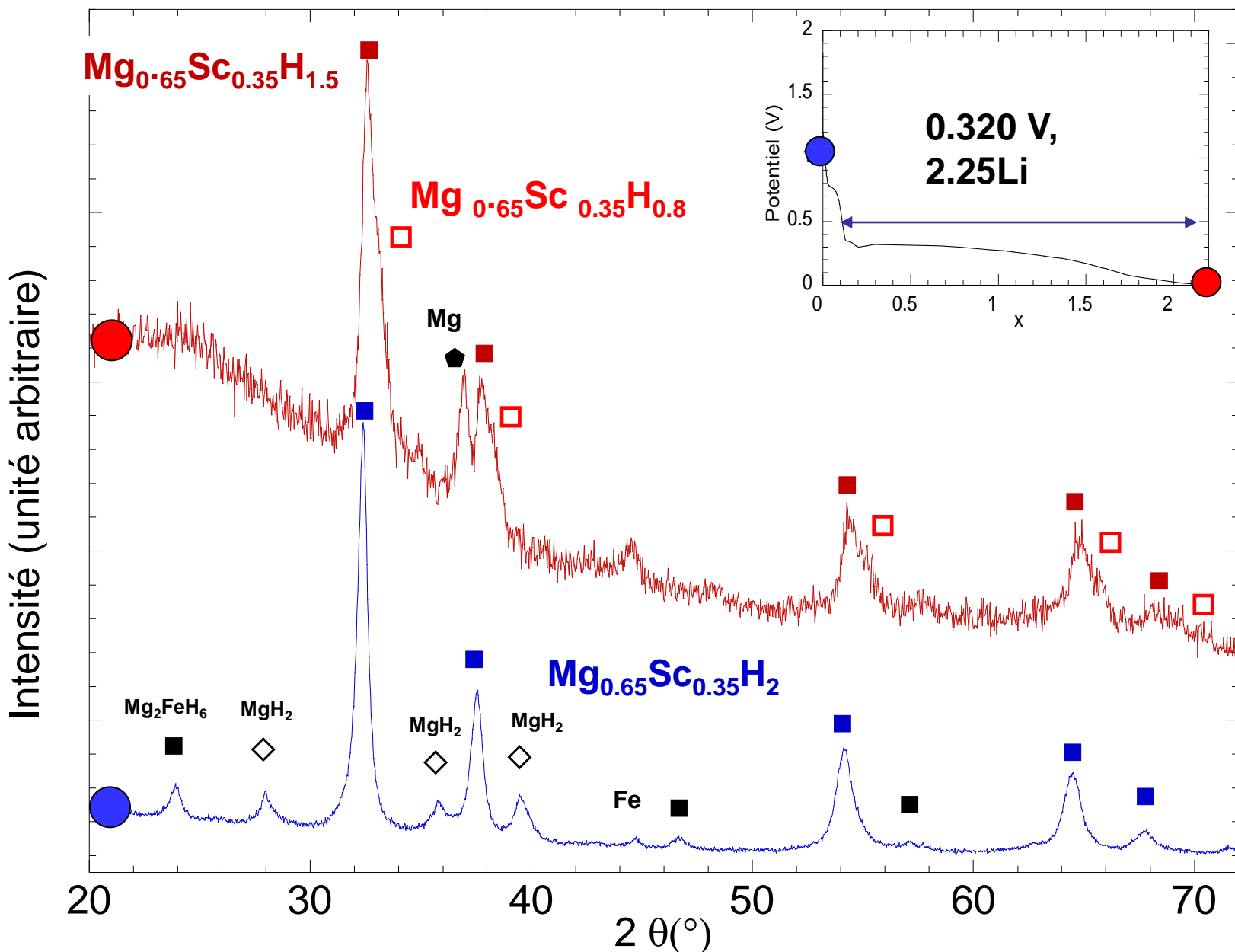
68% $Mg_{0.65}Sc_{0.35}H_2$
 20% MgH_2
 12% Mg_2FeH_6



Préparer un hydrure
 $Mg_{0.65}Sc_{0.35}H_2$ pur

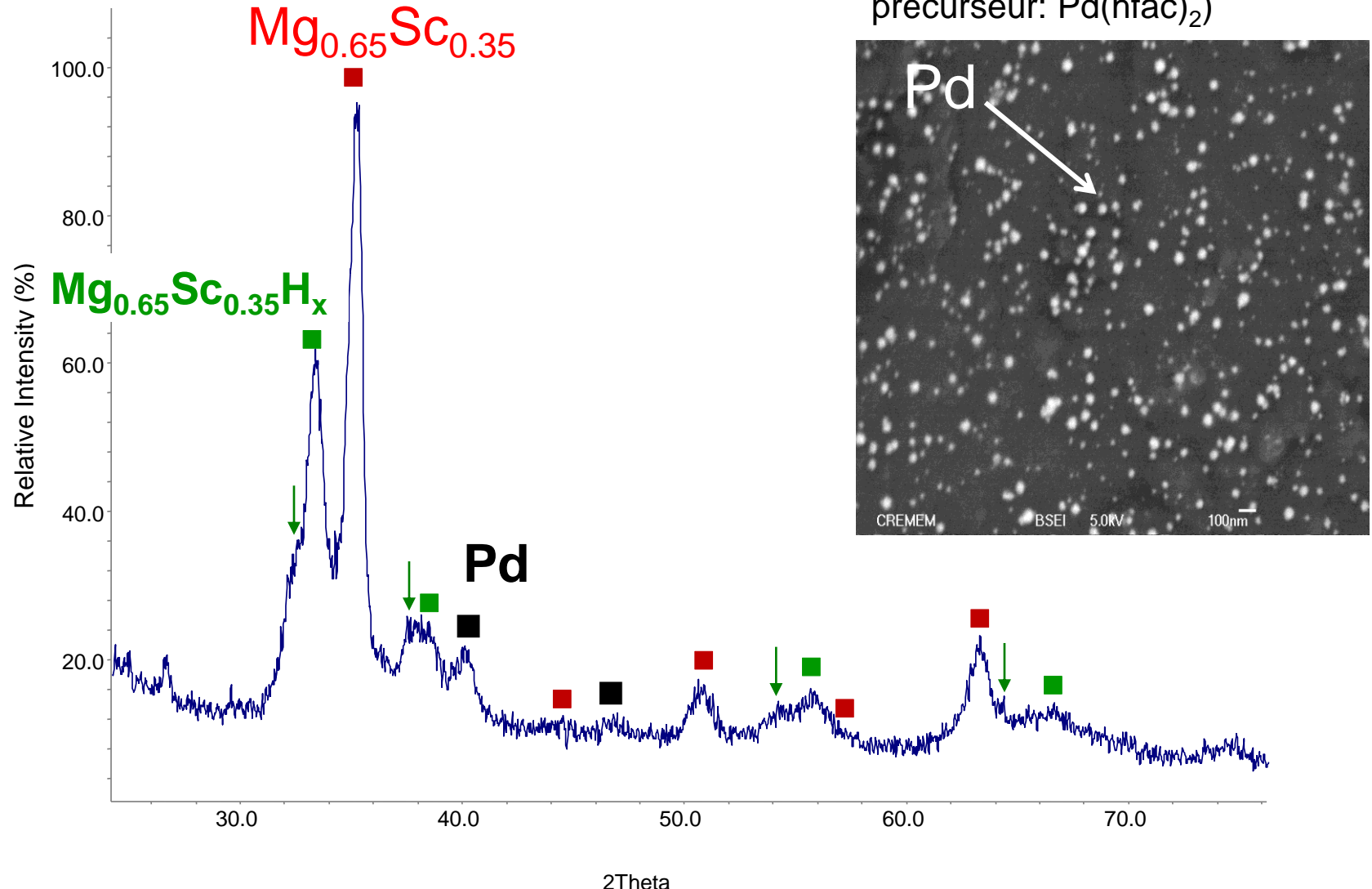
phases	%	G.E.	$a (\text{\AA})$ $c (\text{\AA})$
$Mg_{0.65}Sc_{0.35}H_2$	68	$Fm-3m$	4.780 -
MgH_2	20	$P42/mn$ m	4.525 3.025
Mg_2FeH_6	12	$Fm-3m$	6.454

Mg_{0.65}Sc_{0.35}H₂ synthétisé par broyage de 0.35 ScH₂+ 0.65 MgH₂
(68% Mg_{0.65}Sc_{0.35}H₂, 20% MgH₂, 12% Mg₂FeH₆)

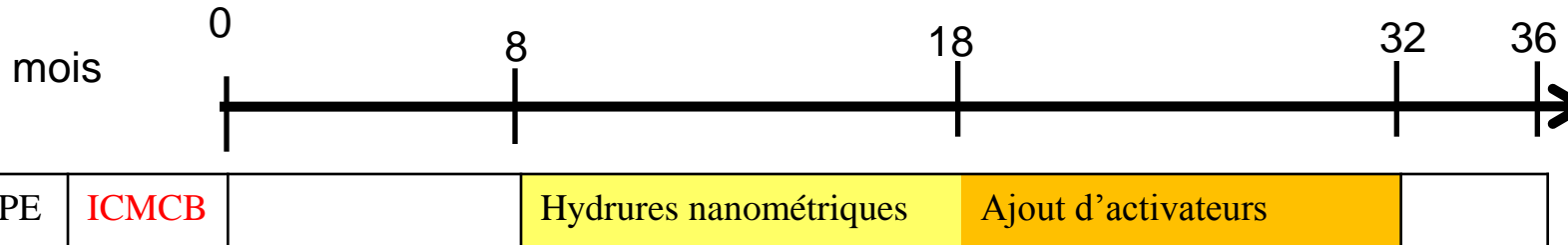


Dépôt de nano Pd sur MgSc par fluide super critique

T= 80 °C, durée t = 2h, éthanol,
 $P(H_2) = 5$ bars, $P_T = 250$ bars,
précurseur: $Pd(hfac)_2$



Tâche 5



- **Hydrures nanométriques**

} - **Broyage réactif sous hydrogène**
-Cryo-broyage

- **Optimisation de leur propriétés de transport de l'hydrogène par ajout d'activateur chimique**

} -Préparation et dépôt de particules par fluide super critique

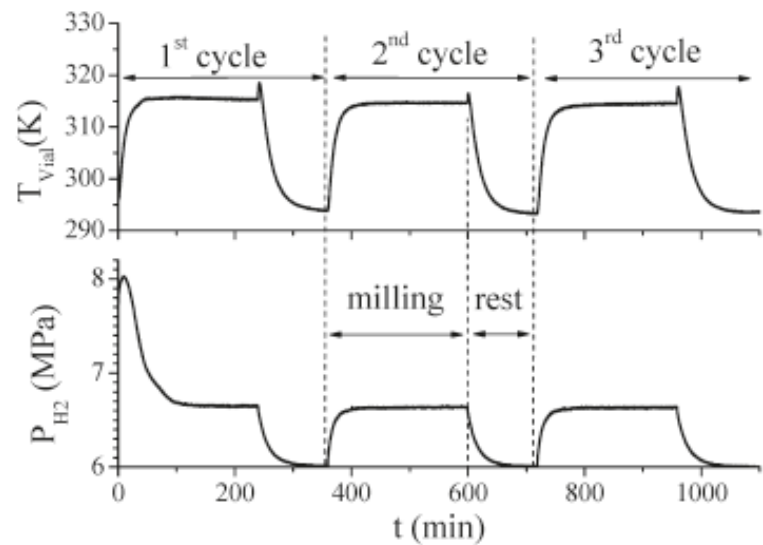
Apport du broyage réactif sous H₂ pour la préparation de nano hydrures

Systèmes modèles

Broyage réactif:

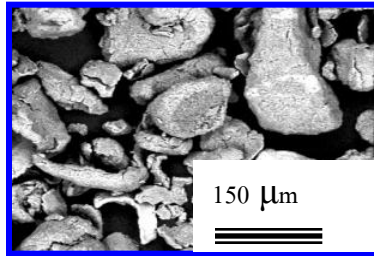
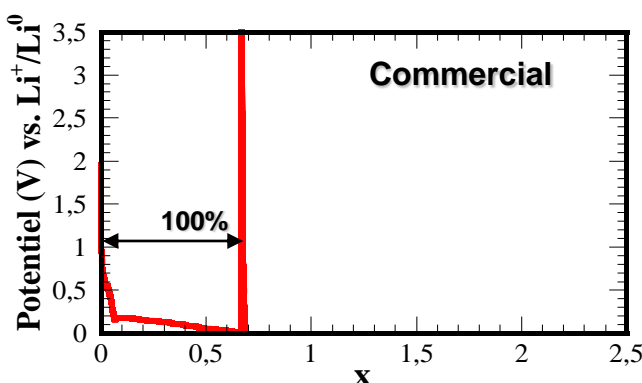


TA, P_{H₂}= 90 bars, 4-12 heures



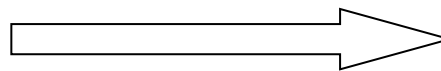
ANR NanoHydLi :

▪ Y. Oumellal, thèse Avril 2009,

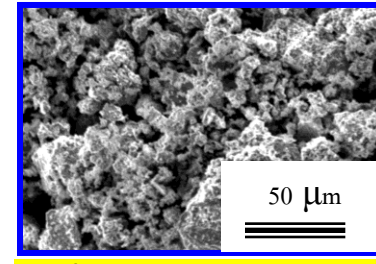
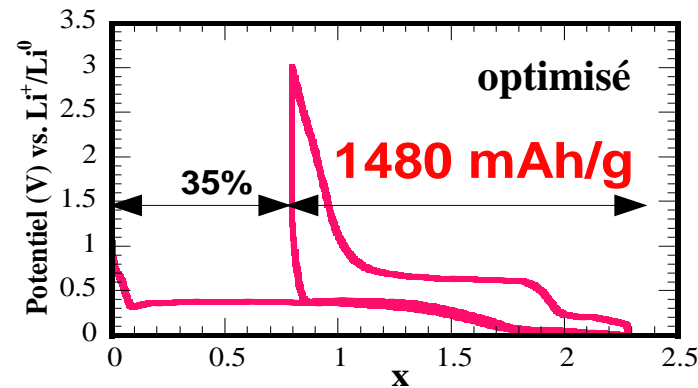


$\varnothing 10\mu\text{m}-100\mu\text{m}$

Optimisation



3 étapes de préparation



$\varnothing 0,1\mu\text{m}-10\mu\text{m}$

1- Mechanical milling (Mg+ C)

2-Solid-gaz reaction: $\text{Mg}+\text{H}_2 \rightarrow \text{MgH}_2$ (3 Cycles absorption)

3- Mechanical milling with carbon $\text{MgH}_2+10\%\text{C}_{\text{tx}} \rightarrow \text{MgH}_2-\text{C}_{\text{tx}}$

NanoHydLi

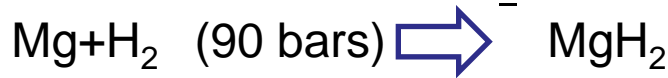
Broyage: Réactif: Mg/H₂

Art antérieur :

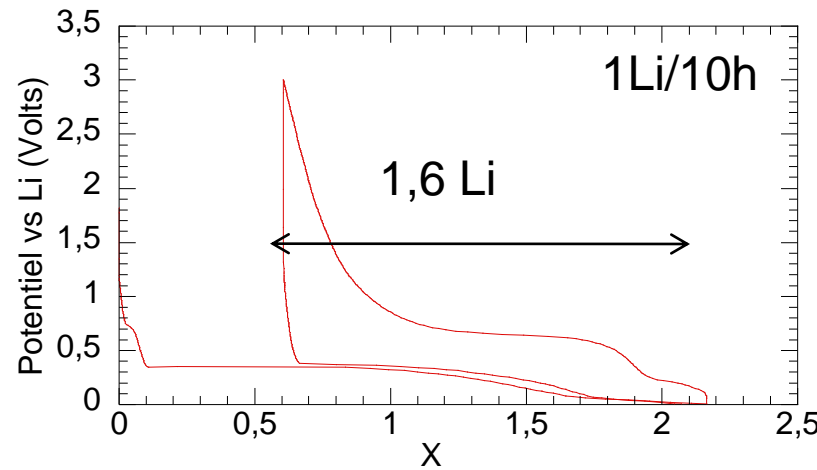
Dea B. Abed 2005

Thèse Y. Oumellal Avril 2009

1-Broyage réactif sous H₂

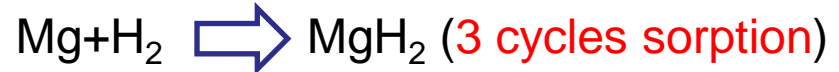


2-broyage 6 heures avec carbone

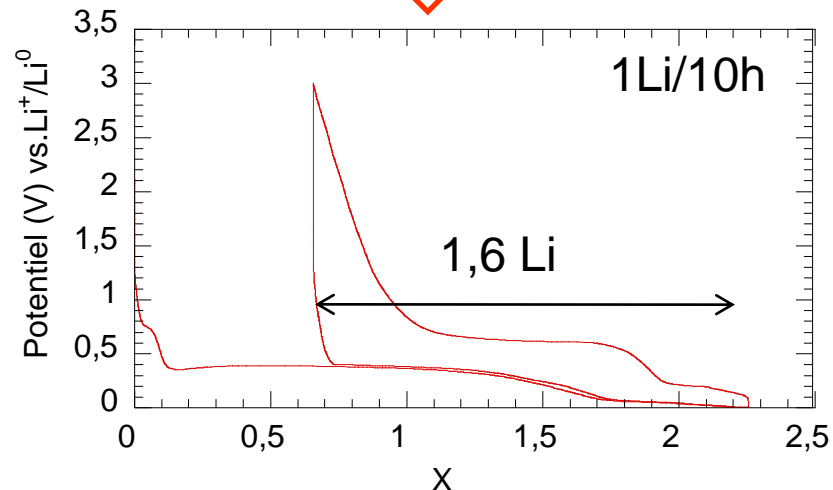


1- Broyage non réactif Mg + carbone

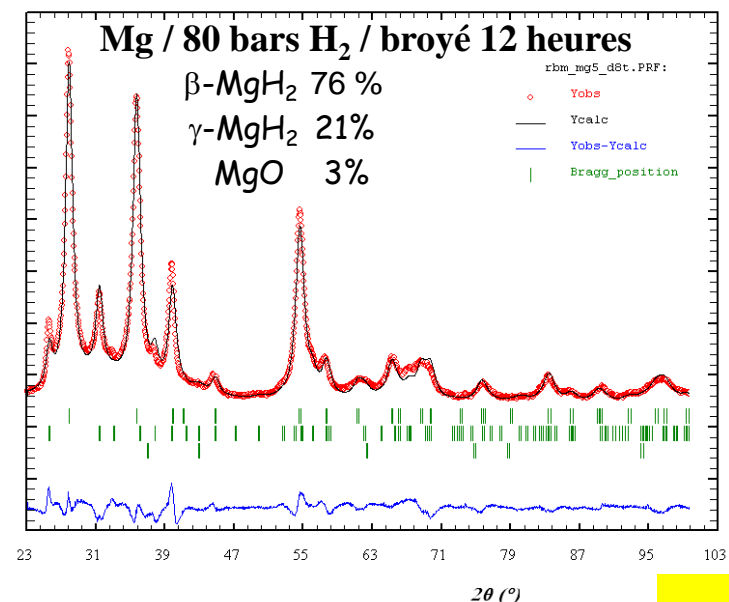
2-Réaction solide-gaz



3-broyage 6 heures avec carbone

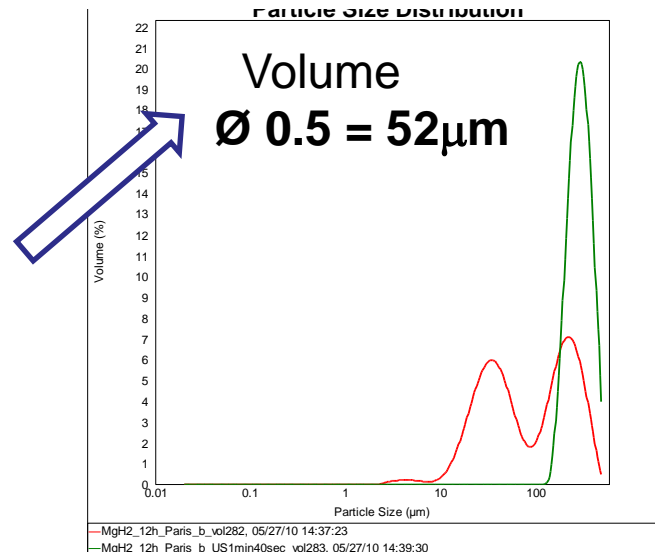


MgH₂ préparé par broyage réactif: aspect nanométrique cristallites /particules ?



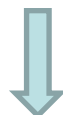
Taille des cristallites
 $L = 6 \text{ nm}$, $\varepsilon = 0.3\%$

Granulométrie laser
Distribution de la taille des particules



agglomérations des particules : échelle micrométrique

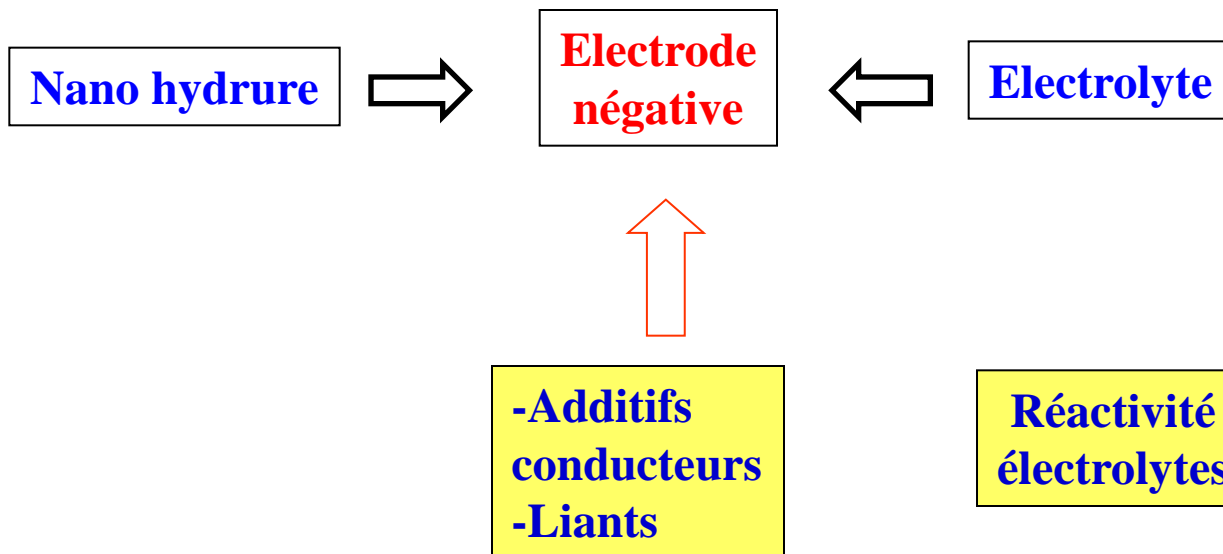
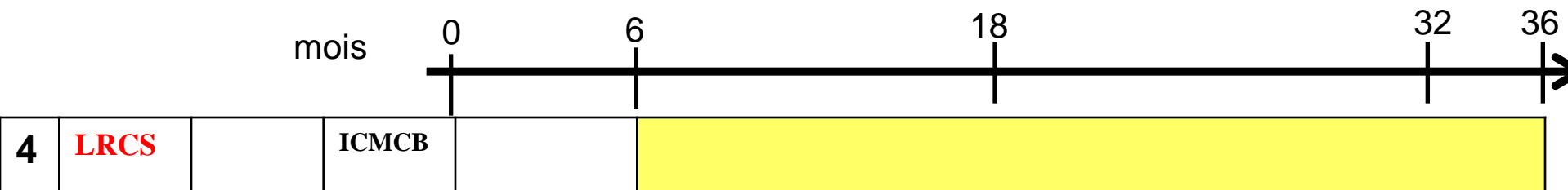
dispersion des agglomérats ?



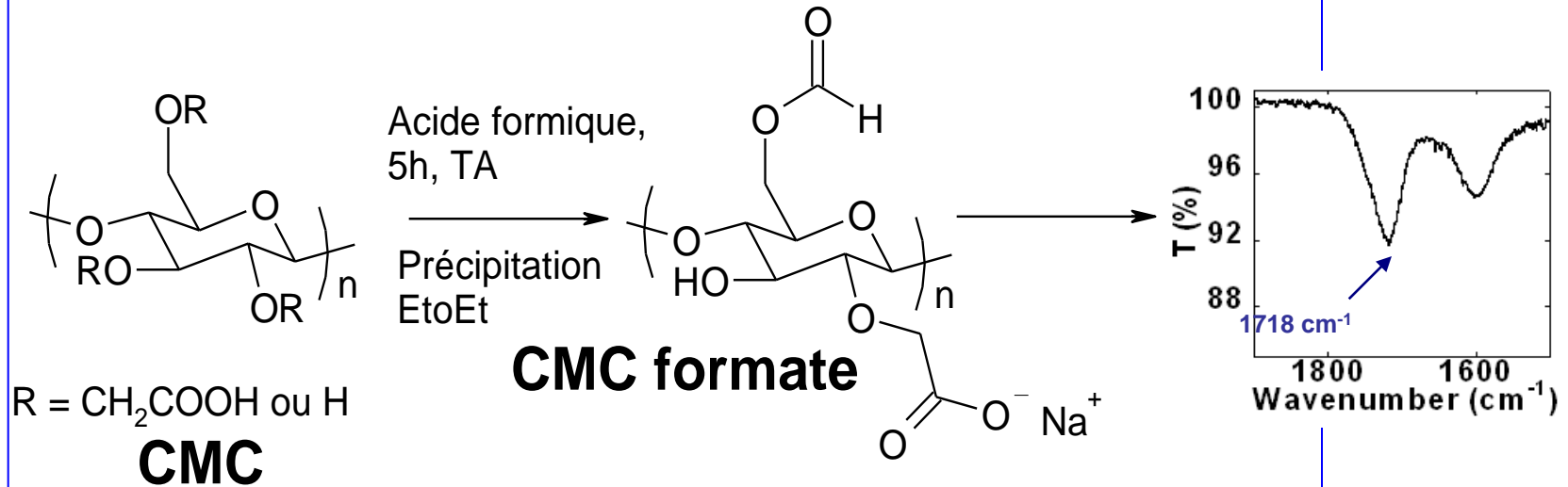
Ultra-sons
Cryobroyage

Tâche 4.2

Optimisation de la technologie de l'électrode



Synthesis of carboxymethyl cellulose formate



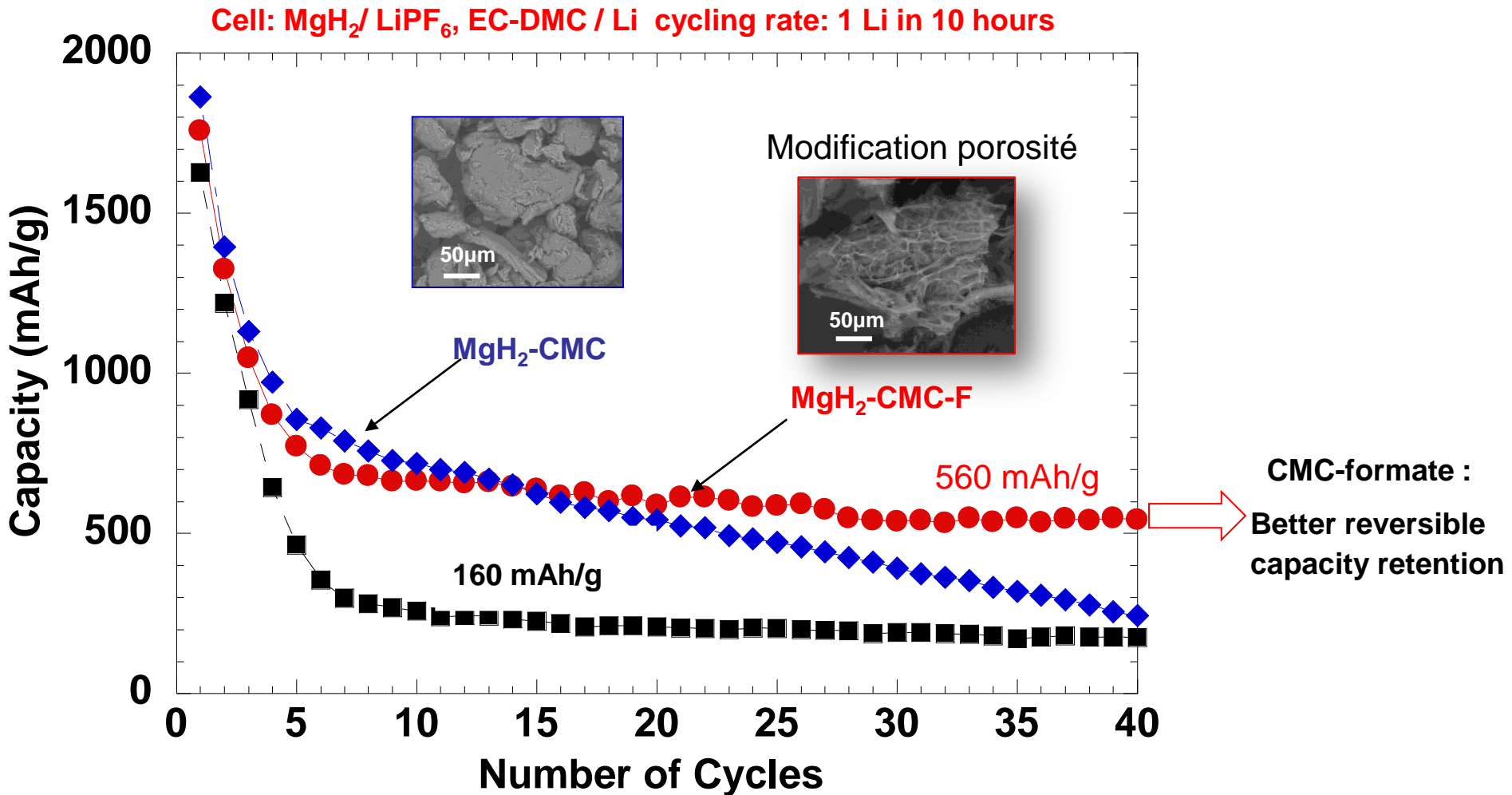
T.Heinze, U.Heinze, *Macromol.Rapid Commun.* 18 (1997) 1033 -1040

Electrodes preparation

- Drying: CMC and CMC-formate at 100 °C for 2 hours
- Ball Milling: 33% MgH_2 +33% C+ 33% CMC/CMC-formate



Effect of CMC and CMC-formate on cycling life of MgH₂ electrode



Conclusions :

Jalon 1



-Nouveaux hydrures réversibles pour les réactions de conversion aux performances électrochimiques supérieures à l'hydrure MgH_2 commercial broyé.
- Mécanismes de conversion spécifiques

- Nouveau liant électrodes négatives

-aspect nano métrique: cryo – broyage, ultra - sons

Conclusions :

(3) Publications:

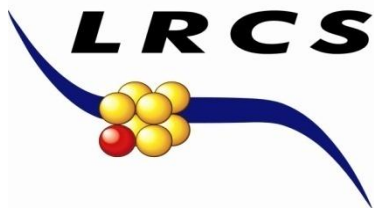
- 1-Journal of Power Sources 196 (2011) 2854–2857. Carboxymethylcellulose and carboxymethylcellulose-formate as binders in MgH₂–carbon composites negative electrode for lithium-ion batteries. W. Zaïdi, Y. Oumellal, J-P Bonnet, J. Zhang, F. Cuevas, M. Latroche, J-L Bobet, and L. Aymard
- 2- The Journal of Physical Chemistry C « Highlighting of a single reaction path during reactive ball milling=of Mg and TM under hydrogen gas to form ternary complex hydrides (TM = F=, Co, Ni), 115, 11 (2011) 4971-4979, J. Zhang, F. Cuevas, W. Zaïdi, J.-P. Bonnet, L. Aymard, J.-L. Bobet and M. Latroche
- 3- The International Journal of Hydrogen Energy. Reactivity of Titanium hydride with lithium ion: Evidence for a new conversion mechanism. Y. Oumellal, W. Zaïdi, J-P Bonnet, F. Cuevas, M. Latroche, J. Zhang, J-L Bobet, A.Rougier and L. Aymard. soumise en octobre 2011

Congrès

Meeting	Nationaux	Internationaux
(2) Conférences invitées	(1) Matériaux 2010, Nantes	(1) MH2010, Moscou
(4) Conférences orales	(2) GFECl 2011, Seine-Port	(1) ECS 2011, Montréal (1) ISRS 2011, Bordeaux
(5) Posters		(1) Euromat ,Montpellier (1) GRC 2011, Stone Hill (1) Faraday discussion 2011 Oxon (1) ISRS 2011 Bordeaux (1) MH2010 Moscou

Remerciements

- W. Zaïdi
- J.P. Bonnet,
- L. Aymard,
- M. Courty,
- K. Djellab,



- M. Kirikova,
- J.L. Bobet
- S. Couillaud



- J. Zhang,
- C. ZLotea,
- F. Cuevas,
- M. Latroche



➤ J. Zhang, F. Cuevas, W. Zaïdi, J.P. Bonnet, L. Aymard, J.L. Bobet, M. Latroche, *J. Phys. Chem. C*, 115, (2011), 4971–4979



➤ W. Zaïdi, Y. Oumellal, J.P. Bonnet, J. Zhang, F. Cuevas, M. Latroche, J.L. Bobet, L. Aymard, *J. Power Sources*, 196, (2011), 2854–2857

